

コロウエルド型ローラー支承に関する実験的研究

大阪大学 正員 小林定夫
オイレス工業KK 正員 ○多田博

I 緒言 コロウエルド型ローラー支承は図1に示すようにローラーRと上板P_A、下板P_Bの接触部が硬さならびに強度の大きいコロウエルド合金(鉄鋼部)を肉盛り溶着したローラー支承である。最も応力が発現される接触部に強度の大きい材料を使用することによって、ローラー支承の許容支圧应力を増加しまた強度の大きい材料を用いると、図1に示すように支承部1個所につけて唯一一本のローラーで反力を支承するので支点の水平移動量とたわみ角を1本のローラーによつて許すような極めてメカニズムの簡単なローラー支承を設計できることになる。そのため構造物全体の設計がより多くなる。

この型式のローラー支承は高強度鋼を基材(SCA2)のローラーに自動溶接によって溶着せられて、溶接部附近の強度がローラー支承の強度を左右するものと考えられる。そこでローラー支承の強度と破壊機構を明確にすることが重要である。本試験ではまず常温でローラー支承の破壊実験を行い、破壊強度を実測し、破壊の状況を調べた。接触部は非常に小さい面積に支圧力を受けるので局部的に塑性変形を起こし易く、必ず残留変形を生ずる。そのためローラーの回転摩擦係数を実質的に増加させることになる。そこでコロウエルド型ローラー支承の静的載荷試験によって変形量を測定することとした。次に寒冷地方で使用に場合に、溶接部の脆性が大となり強度が低下する恐れがあるので、供試体を低温槽内に入れ-40°Cまでの低温に保持して場合につての破壊試験を実施した。以下これらの実験結果について述べる。

II 常温破壊実験 破壊試験には容量200 tonのアムスラー型圧縮試験機。向く図1に示すようなローラーと上下板からなるローラー支承のセットを挿入し徐々に荷重を増加して破壊に到らしめた。ローラー支承の破壊は図2にa,bに示すように溶着金属内にぼく鉛直方向のクラックが発生してその耐荷力が急激に低減するという現象で起る。そこで破壊現象の出現を速かにキャッチするため、標点2mmのひずみゲージを図2のGに示すようにローラー及び上下板の溶着金属部に水平方向に貼付けて。

1. 測定項目.
 - A. ローラーあるいは上下板のクラック発生個所の特徴及び発生状態の写真撮影
 - B. クラック発生時の荷重とたわみ破壊荷重の測定
 - C. セットしたローラー支承の変形量、残留変形量

2. 供試体寸法 表1に示すようにローラーの直径D、上下板の厚さH、溶着金属の厚さtを種々変化させた合計33セットの供試体について実験を行った。

C-1, 2, 3については奥行長さのものを2等分し同一寸法の供試体を2セットずつ製作し(A, B)の中のAは接触点が肉盛りの厚い所に食せた場合、Bは同じく薄いところに食せた場合について実験した。

3. 実験結果 これらの多數の実験の中から代表的なものを図3, 4に示す。図3はローラーの溶着部に、図4は下板の溶着部にクラックを入れて

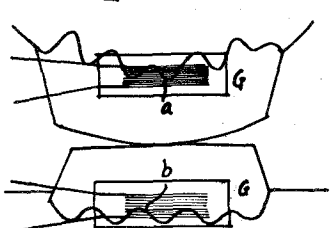
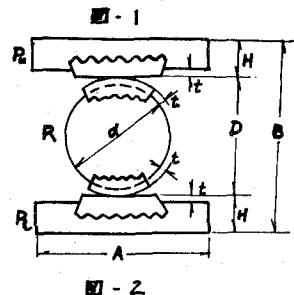


表 1

供試体番号	D	H	t	A	B
A-1 1ロハ	75	54	4	120	183
A-2 1ロハ	75	56	6	120	187
A-3 1ロハ	75	58	8	120	191
A-4 1ロハ	75	54	4	120	183
B-1 1ロハ	90	54	4	120	198
C-1 1(A,B)	120	54	4	120	228
C-1 2(A,B)	120	54	4	120	228
C-2 1A	120	58	8	120	236
C-2 1B	120	58	8	120	236
C-2 2(A,B)	120	58	8	120	236
C-3 1(A,B)	120	62	12	120	244
C-3 2(A,B)	120	62	12	120	244

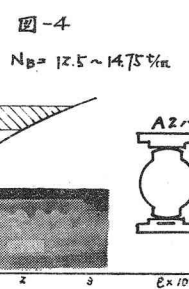
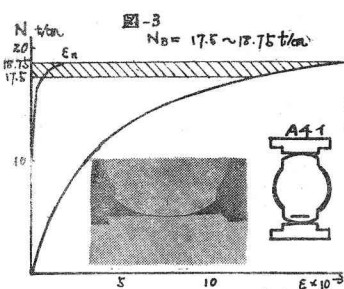


表-2

直径D mm	肉盛厚さ mm	供試体番号	平均破壊荷重 N/t/cm
75	4	A1, A4	18.4
75	6	A2	15.4
75	8	A3	16.7
90	4	B1	16.5
120	4	C1	14.2
120	8	C2	18.8
120	12	C3	21.6

破壊したものである。いずれもクラック発生直後に陣頭載荷を繰返すとクラックが直角方向に貼付けた塑性域が増加する。非常に大きなひずみの増加を生むのでクラック発生を容易にキャッチできた。同一寸法の供試体において平均した実行単位長あたりの破壊荷重 $N_B(t/cm)$ を表-2に示す。表-2から明らかのように破壊荷重 N_B はローラー直徑-D と肉盛厚さによって変る。すなわち D との組合せに応じて許容設計荷重を決めるべきことがある。例えば D=120 mm, $t=8$ mm の場合破壊に対する安全率を 3 と仮定すると、許容設計荷重は 6.37 となる。従ってローラー実行を 9.0 cm とすれば、12bt の支圧力を対し充てて使用できることになる。又 C 供試体については(A,B)による破壊荷重の差異は認められなかった。破壊の原因であるクラックは図-2に模式的に図示してあるように滑着金属と基材の境界層から滑着金属内に開いている。これは支圧力に垂直にローラー内に引張応力が生じ、硬さの大きい脆性不滑着金属にクラックが入るものと考えられる。クラックの発生位置は滑着金属の薄くなれた底部で発生したもの(2), 厚くなれた底部で発生したもの(1), 中面部に発生したもの(3)であった。上板の下面と下板の上面間の距離、載荷による変化量を 100 mm ダイヤルゲージで測定したが、その代表的なものを図-5に示す。△印:絶対変形量であり、0 と 5 tonまで荷重を下げる場合の残留変形量である。同一直徑の SS41材のローラーについて行った結果を点線で示す。コロウエルド型ローラーの変形量および残留変形量が極めて小さいことがわかる。

III 低温破壊実験 図-6に示すような低温槽内にローラー支承を設けて加圧した。試作のゲージで電気的に測定して手でキャリブレーションした 温度ゲージを下板に貼付け ローラー支承自身の温度を測定した。供試体を低温に保持するためメチルアルコールドライアイスを適量だけ投入した。

1. 測定項目 A. 低温時における破壊荷重

B. クラック発生個所の探知および発生状態の写真撮影

C. 供試体の温度

2. 供試体寸法 表-1の A4 と同一寸法のもつについて実施した。

3. 実験結果 図-7は各温度における破壊荷重をプロットしたものである。図-8に -40°C における荷重-ひずみ曲線を示す。クラック発生時のひずみが低温の場合に図-3の常温の場合に比較して非常に小さくなる。破壊荷重も非常に小さくなっている。 -10°C 以上については再試験により確認する必要がある。

